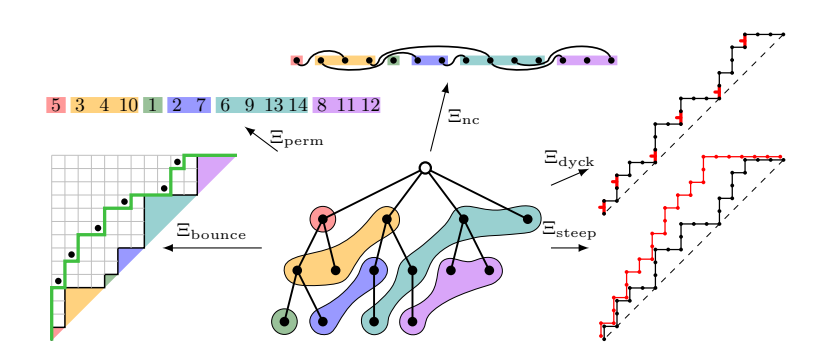
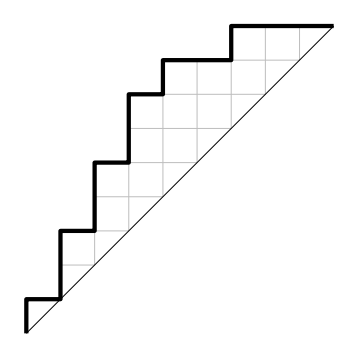
Wenjie Fang, Institute of Discrete Mathematics, TU Graz Avec Cesar Ceballos et Henri Mühle

07 février 2019, Séminaire Flajolet, IHP

## Résultats principaux

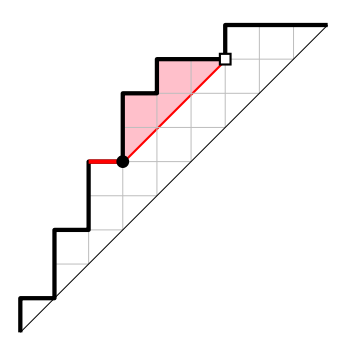


# Treillis de Tamari, sur les chemins de Dyck



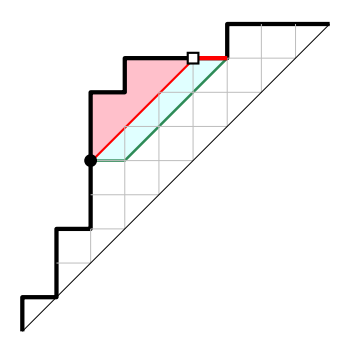
Chemin de Dyck : n pas Nord (N) et n pas Est (E), au-dessus de la diagonale. Compté par les nombres de Catalan

# Treillis de Tamari, sur les chemins de Dyck



Relation de couverture : prenons une vallée ullet, soit  $\Box$  le prochain point avec la même distance à la diagonale ...

## Treillis de Tamari, sur les chemins de Dyck

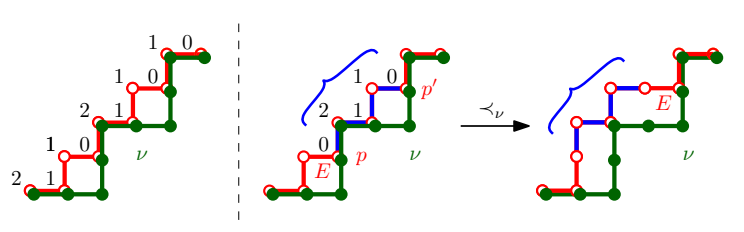


..., et poussons le segment à gauche. Le chemin obtenu est plus grand que l'original. Cela donne le **treillis de Tamari**.

#### Treillis de $\nu$ -Tamari

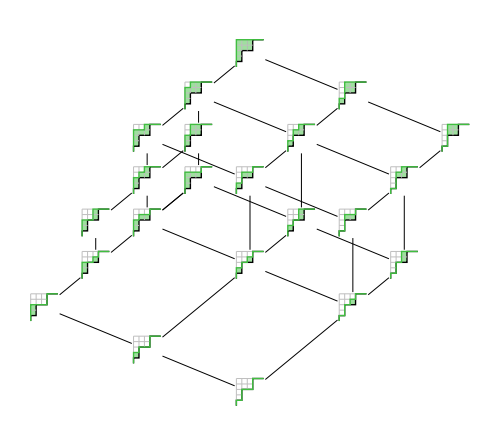
Généralisation avec  $\nu$  un chemin dirigé arbitraire comme "diagonale"!

Distance horizontale = # pas Est avant de toucher l'autre côté de  $\nu$ 



**Treillis de**  $\nu$ -**Tamari** (Préville-Ratelle and Viennot 2014) :  $\mathcal{T}_{\nu}$  avec  $\nu$  arbitraire (dit le canopé) de pas N, E.

# Pourquoi c'est important?



- Généralisant beaucoup de cas (m-Tamari, Tamari rationnel)
- Liens bijectifs (cartes planaires non-séparables)
- Aspect algébrique (algèbre de Hopf, espace des coinvariants diagonaux, etc.)

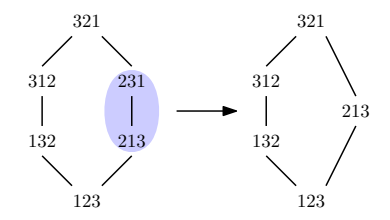


## Treillis de Tamari, comme quotient de l'ordre faible

 $\mathfrak{S}_n$  en tant qu'un groupe de Coxeter est généré par  $s_i=(i,i+1)$ 

Pour  $w \in \mathfrak{S}_n$ ,  $\ell(w) = \text{longueur min. de factorisation de } w \text{ en les } s_i$ .

**Ordre faible**: w couvert par w' ssi  $w' = ws_i$  et  $\ell(w') = \ell(w) + 1$ 



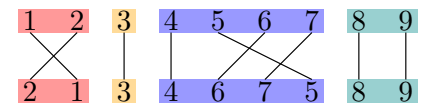
Classe de sylvester : permutations avec le même arbre de recherche Un seul 231-évidant dans chaque classe. L'ordre induit = Tamari. Idem pour les autres types

# Sous-groupe parabolique et quotient parabolique de $\mathfrak{S}_n$

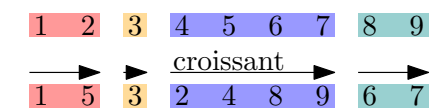
Soit  $\alpha = (\alpha_1, \dots, \alpha_k)$  une composition de n.

Sous-groupe parabolique :  $\mathfrak{S}_{\alpha_1} \times \cdots \times \mathfrak{S}_{\alpha_k} \subset \mathfrak{S}_n$ .

Généré par  $s_i$  sauf les  $i = \alpha_1 + \alpha_2 + \cdots + \alpha_i$ .



Quotient parabolique :  $\mathfrak{S}_n^{\alpha} = \mathfrak{S}_n/(\mathfrak{S}_{\alpha_1} \times \cdots \times \mathfrak{S}_{\alpha_k})$ .



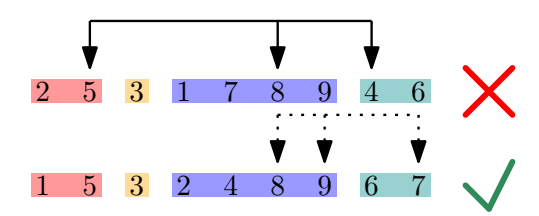
Ordre croissant dans chaque bloc

## Permutation parabolique évitant 231

Motif  $(\alpha, 231)$ : trois indices i < j < k dans trois blocs distincts avec

- $\bullet \ w(k) < w(i) < w(j),$
- w(k) + 1 = w(i).

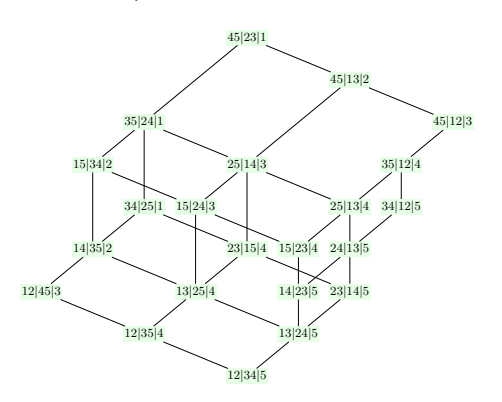
Permutation  $(\alpha, 231)$  évitant : sans motif  $(\alpha, 231)$ 



 $\mathfrak{S}_n^{\alpha}(231)$  : l'ensemble des permutation  $(\alpha,231)$ -évitant

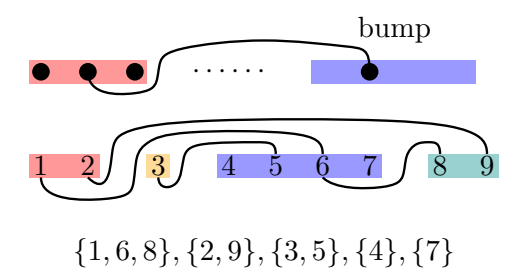
# Treillis de Tamari parabolique

Treillis de Tamari parabolique  $\mathcal{T}_n^{\alpha}=$  l'ordre faible restreint à  $\mathfrak{S}_n^{\alpha}(231)$  (Mühle et Williams 2018+)



Aussi pour les autres types!

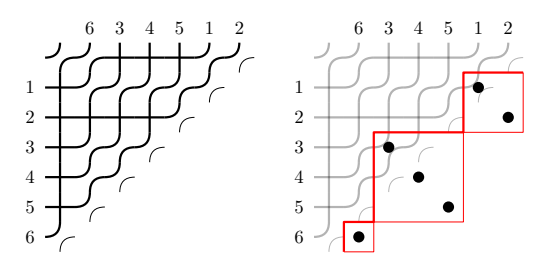
### Partition parabolique sans croisement



 $\alpha\text{-partition parabolique sans croisement}$  : un ensemble de bumps,  $\leq 1$  entrant/sortant, sans bumps croisés

## Pipe dreams ...

Pipe dreams : un réseau triangulaire de croix et de coudes. Algèbre de Hopf sur pipe dreams (Bergeron, Ceballos et Pilaud, 2018+).

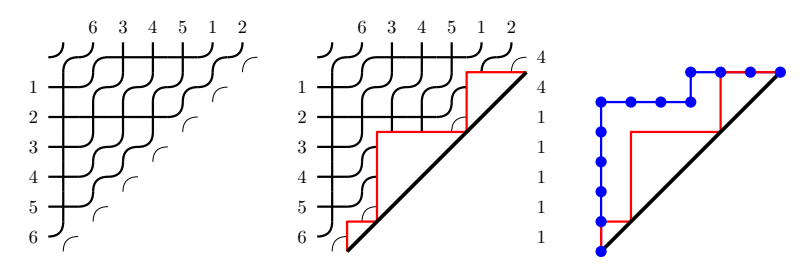


Les dim. des comps. homogènes d'une sous-algèbre (générée par les identités) = # pipe dreams avec une permutation "identité par bloc"

#### ... et les paires de rebonds

Paire de rebond : un chemin de Dyck au-dessus d'un chemin de rebond

- Chemin de rebond : donné par la permutation
- Chemin au-dessus : autant de points que de coudes à l'extérieur à chaque niveau



#### Proposition (Bergeron, Ceballos et Pilaud, 2018+)

Les pipe dreams dont la permutation est une "identité par bloc" de taille n sont en bijection avec les paires de rebond d'ordre n.

## Comptage et relations?

#### Les objets

- Permutations  $\alpha$ -paraboliques évitant 231,
- $\alpha$ -partitions paraboliques sans croisement,
- Paires de rebond indicé par  $\alpha$ .

#### Le comptage

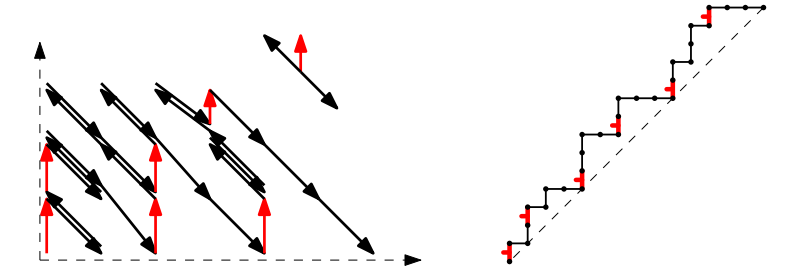
- Tous les trois en bijection (Mühle et Williams 2018+), mais pas facile
- ullet Comptage expérimental en sommant sur tout lpha de n :

```
1, 1, 3, 12, 57, 301, 1707, 10191, 63244, 404503, \dots (OEIS A151498)
```

- = certains chemins dans le quadrant
- Un lien bijectif? Une structure plus directe?

## Les chemins marqués et les paire raide

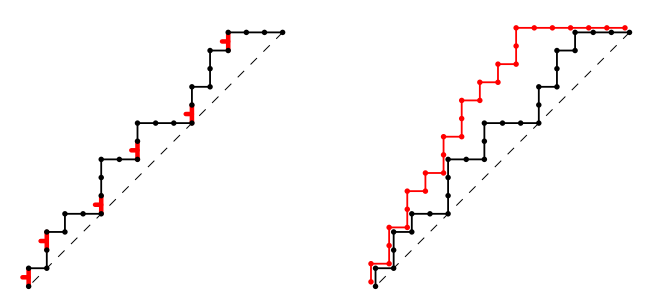
Les chemins de quadrant :  $\{(1,0),(1,-1),(-1,1)\}$ , terminant sur y=0. Compté dans (Bousque-Mélou et Mishna, 2010)



En bijection avec les chemins de Dyck marqués par niveau : niveau ≤ marquages rencontrés

# Les chemins marqués par niveau et les paires steep

Paires steep: 2 chemins de Dyck emboîtés, celui au-dessus sans EE sauf à la fin



#### Bijection:

- Chemin au-dessou : chemin sans marquage
- Chemin au-dessus : lire les N, marqué  $\to N$ , non-marqué  $\to EN$



## La conjecture Steep-Bounce

#### Conjecture (Bergeron, Ceballos et Pilaud 2018+, Conjecture 2.2.8)

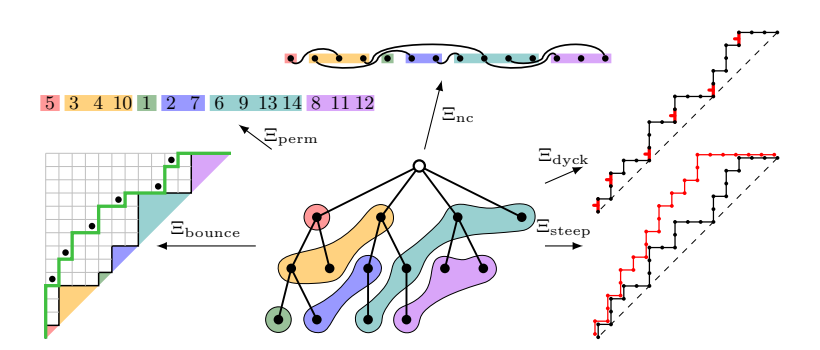
Les deux ensembles suivants sont de la même taille :

- les paires de rebond d'ordre n avec k régions;
- les paires steep d'ordre n avec k pas E à y=n.

Une preuve donnera le comptage des tous ces objets (pipe dreams et Catalan parabolique)

Cas k = 1, 2, n - 1, n déjà traité.

# Un schéma des bijections

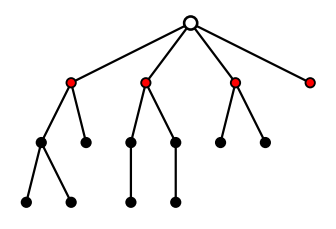


- T: arbre plan avec n nœuds non racine:
- $\alpha = (\alpha_1, \dots, \alpha_k)$  : composition de n

Nœuds actifs : non-colorié, mais le parent est colorié ou la racine.

Algorithme de coloriage : Pour i de 1 à k,

- S'il y a moins que  $\alpha_i$  nœuds actifs, alors échouer;
- Sinon, colorier les  $\alpha_i$  à gauche en couleur i.



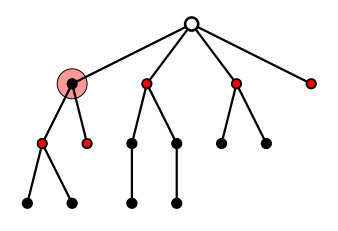
$$\alpha = (\mathbf{1}, 3, 1, 2, 4, 3) \vdash 14$$

- T: arbre plan avec n nœuds non racine;
- $\alpha = (\alpha_1, \dots, \alpha_k)$  : composition de n

Nœuds actifs : non-colorié, mais le parent est colorié ou la racine.

Algorithme de coloriage : Pour i de 1 à k,

- S'il y a moins que  $\alpha_i$  nœuds actifs, alors échouer;
- Sinon, colorier les  $\alpha_i$  à gauche en couleur i.



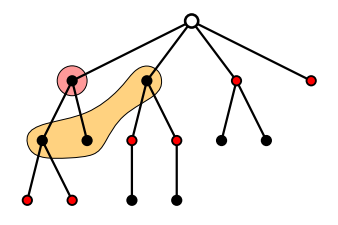
$$\alpha = (1, 3, 1, 2, 4, 3) \vdash 14$$

- $\bullet$  T: arbre plan avec n nœuds non racine;
- $\alpha = (\alpha_1, \dots, \alpha_k)$  : composition de n

Nœuds actifs : non-colorié, mais le parent est colorié ou la racine.

Algorithme de coloriage : Pour i de 1 à k,

- S'il y a moins que  $\alpha_i$  nœuds actifs, alors échouer;
- Sinon, colorier les  $\alpha_i$  à gauche en couleur i.



$$\alpha = (1, 3, \mathbf{1}, 2, 4, 3) \vdash 14$$

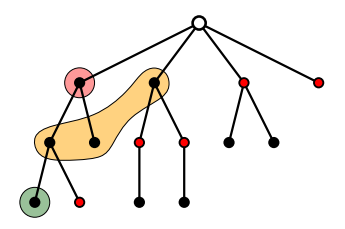


- $\bullet$  T: arbre plan avec n nœuds non racine;
- $\alpha = (\alpha_1, \dots, \alpha_k)$  : composition de n

Nœuds actifs : non-colorié, mais le parent est colorié ou la racine.

Algorithme de coloriage : Pour i de 1 à k,

- ullet S'il y a moins que  $lpha_i$  nœuds actifs, alors échouer;
- Sinon, colorier les  $\alpha_i$  à gauche en couleur i.



$$\alpha = (1, 3, 1, \textcolor{red}{2}, 4, 3) \vdash 14$$

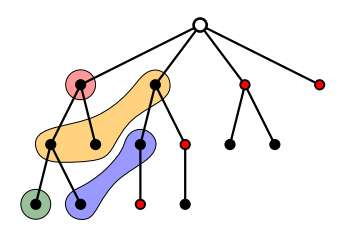


- T: arbre plan avec n nœuds non racine;
- $\alpha = (\alpha_1, \dots, \alpha_k)$  : composition de n

Nœuds actifs : non-colorié, mais le parent est colorié ou la racine.

Algorithme de coloriage : Pour i de 1 à k,

- ullet S'il y a moins que  $lpha_i$  nœuds actifs, alors échouer;
- Sinon, colorier les  $\alpha_i$  à gauche en couleur i.



 $\alpha = (1, 3, 1, 2, \textcolor{red}{4}, 3) \vdash 14$ 

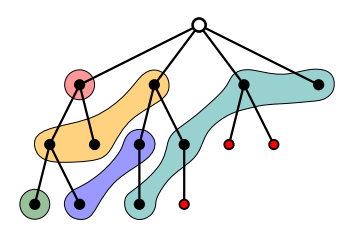


- $\bullet$  T: arbre plan avec n nœuds non racine;
- $\alpha = (\alpha_1, \dots, \alpha_k)$  : composition de n

Nœuds actifs : non-colorié, mais le parent est colorié ou la racine.

Algorithme de coloriage : Pour i de 1 à k,

- S'il y a moins que  $\alpha_i$  nœuds actifs, alors échouer;
- Sinon, colorier les  $\alpha_i$  à gauche en couleur i.



 $\alpha = (1, 3, 1, 2, 4, {\color{red} 3}) \vdash 14$ 

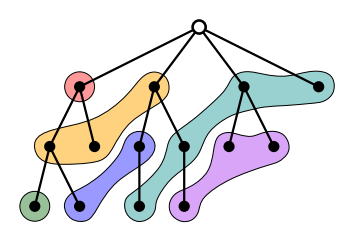


- $\bullet$  T: arbre plan avec n nœuds non racine;
- $\alpha = (\alpha_1, \dots, \alpha_k)$  : composition de n

Nœuds actifs : non-colorié, mais le parent est colorié ou la racine.

Algorithme de coloriage : Pour i de 1 à k,

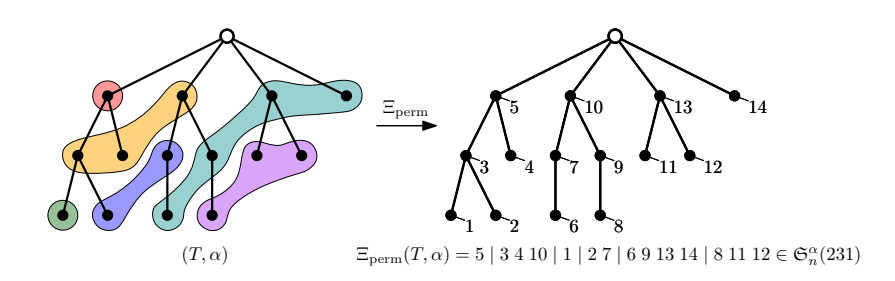
- S'il y a moins que  $\alpha_i$  nœuds actifs, alors échouer;
- Sinon, colorier les  $\alpha_i$  à gauche en couleur i.



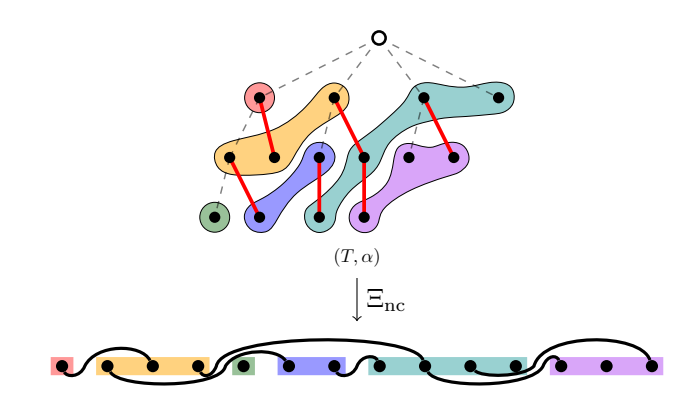
 $\alpha = (1,3,1,2,4,3) \vdash 14$ 



# Vers les permutations

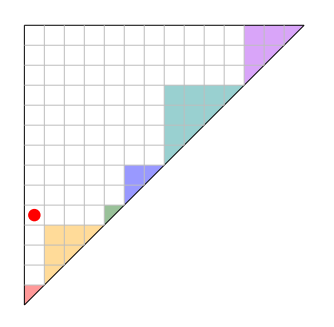


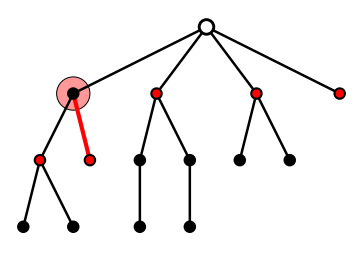
## Vers les partitions paraboliques sans croisement



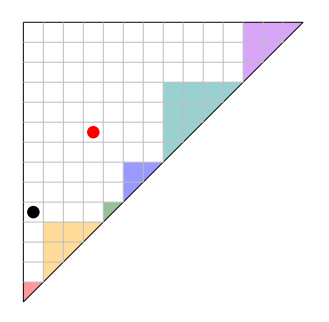
- Arbre  $\rightarrow$  partition : applatir
- ullet Partition o arbre : regarder le ciel

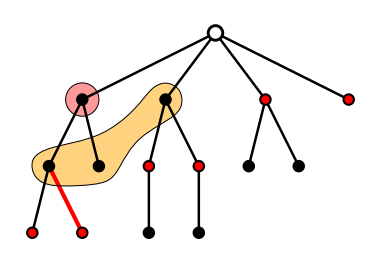




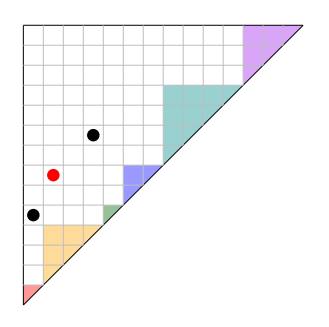


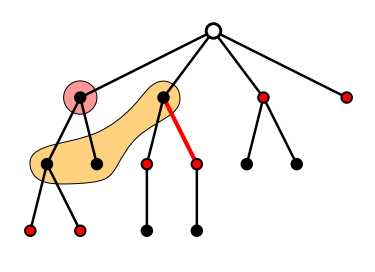
$$\alpha = (1, 3, 1, 2, 4, 3) \vdash 14$$

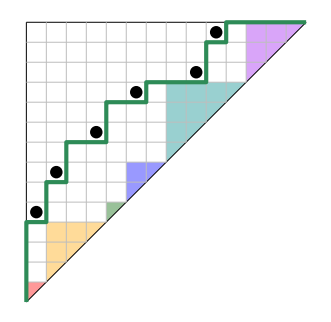


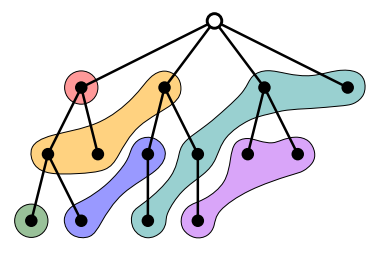


$$\alpha = (1, 3, 1, 2, 4, 3) \vdash 14$$



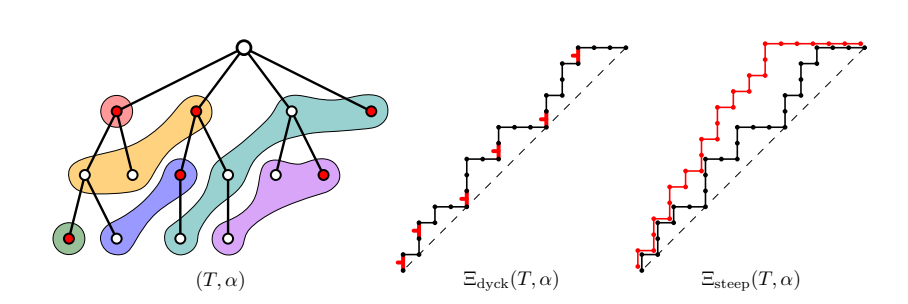






$$\alpha = (1, 3, 1, 2, 4, 3) \vdash 14$$

# Vers les paires steep



# Le théorème Steep-Bounce

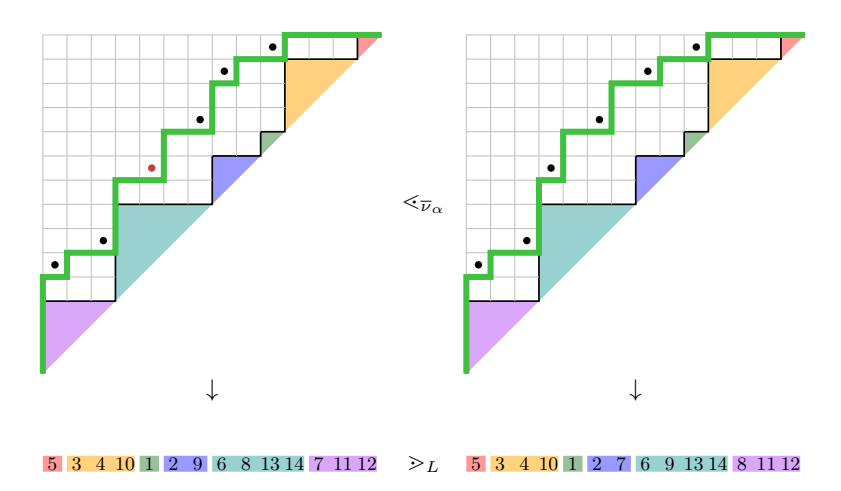
#### Théorème (Ceballos, F., Mühle 2018+)

Il y a une bijection naturelle  $\Gamma$  entre les deux ensembles suivants :

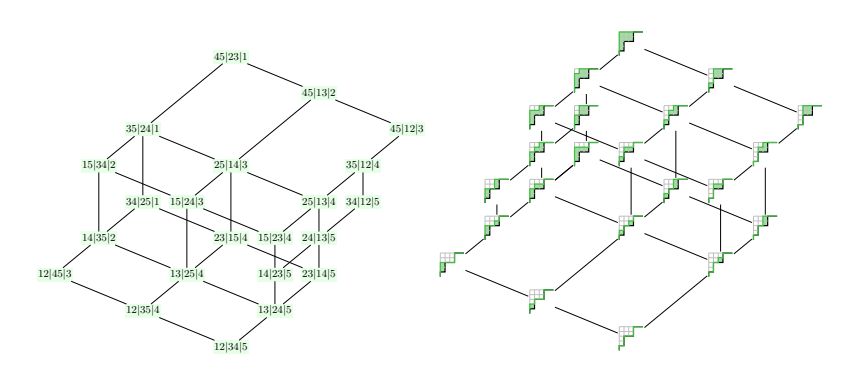
- ullet les paires de rebond d'ordre n avec k régions ;
- les paires steep d'ordre n avec k pas E à y=n.

Donc on sait tout compter!

## Une bijection entre les deux Tamaris



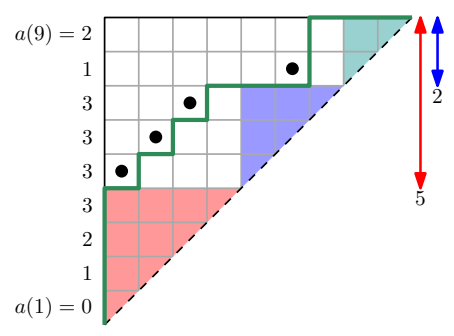
### L'un est isomorphe au dual de l'autre



#### Théorème (Ceballos, F., Mühle 2018+)

Le treillis parabolique indicé par  $\alpha$  est isomorphe au treillis de  $\nu$ -Tamari avec  $\nu=N^{\alpha_1}E^{\alpha_1}\cdots N^{\alpha_k}E^{\alpha_k}$ .

## Détour sur la combinatoire de q, t-Catalan



$$area(D) = \sum_{i} a(i) = 18$$
 
$$bounce(D) = \sum_{i} (i - 1)\alpha_{i} = 7$$
 
$$dinv(D) = \#\{(i, j) \mid i < j, (a(i) = a(j) \lor a(i) = a(j) + 1\} = 17$$

## Une symétrie non triviale

#### Théorème (Garsia et Haiman 1996, Haiman 2001)

En sommant sur tout chemin de Dyck D d'ordre n, on a

$$\sum_{D} q^{\operatorname{area}(D)} t^{\operatorname{bounce}(D)} = \sum_{D} q^{\operatorname{bounce}(D)} t^{\operatorname{area}(D)}.$$

La preuve passe par la série de Hilbert de l'espace des coinvariants diagonaux à deux jeux de variables.

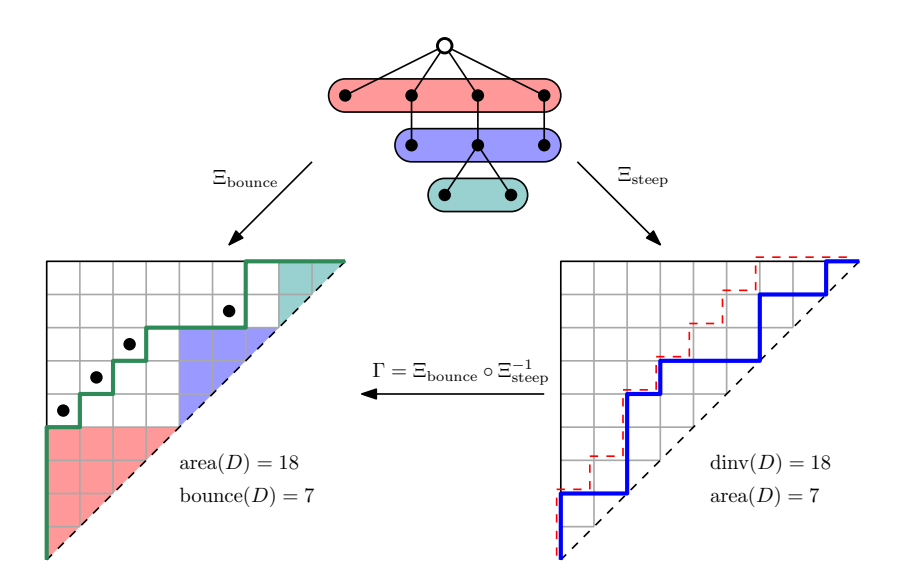
Pas encore de preuve combinatoire!

#### Théorème (Haglund 2008, Preuve du Théorème 3.15)

Il y a une bijection  $\zeta$  sur les chemins de Dyck qui transfère les paires de statistiques

$$(\text{dinv}, \text{area}) \rightarrow (\text{area}, \text{bounce}).$$

#### Notre transformation zeta



## Notre transformation zeta, version Steep-Bounce

#### Théorème (Ceballos, F., Mühle 2018+)

Il y a une bijection naturelle  $\Gamma$  entre les deux ensembles suivants :

- les paires de rebond d'ordre n avec r-1 rebonds;
- les paires steep d'ordre n avec r pas E à y=n.

 $\zeta = {\sf cas}$  spécial de  $\Gamma$ , où les paires de rebonds et les paires *steep* construits de façon gourmande

Une généralisation à explorer!

## Les pistes à suivre

- Comment se transfèrent les statistiques, et lesquelles?
- Action des symétries?
- Implication dans l'espace des coinvariants diagonaux?
- etc.?

## Les pistes à suivre

- Comment se transfèrent les statistiques, et lesquelles?
- Action des symétries?
- Implication dans l'espace des coinvariants diagonaux?
- etc.?

Merci de votre attention!